

Figure S1 SEM images of ZnAl- NO_3^- -LDH

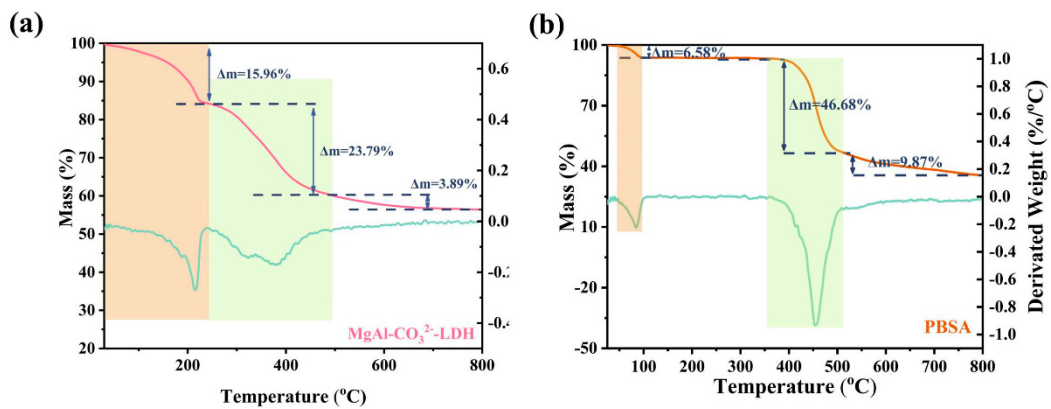


Figure S2 TG-DTG curves of (a) MgAl- CO_3^{2-} -LDH and (b) PBSA.

Table S1. The parameters obtained from the fitting of EIS data are related to the uncoated samples exposed to the blank and inhibited solutions.

Specimens	CPE _c				CPE _{dl}				$\log Z $ ($\Omega \cdot \text{cm}^2$)	Chi squared
	Rs ($\Omega \cdot \text{cm}^2$)	Y _c ($\text{F} \cdot \text{cm}^{-2} \cdot \text{s}^{n-1}$)	n	R _f ($\Omega \cdot \text{cm}^2$)	C _f ($\text{F} \cdot \text{cm}^{-2}$)	Y _{dl} ($\text{F} \cdot \text{cm}^{-2} \cdot \text{s}^{n-1}$)	n			
NaCl-1H	24.51	-	-	-	-	4.91×10^{-4}	0.76	3453	1.20×10^{-4}	3.45
NaCl-24H	25.09	-	-	-	-	3.02×10^{-4}	0.75	3314	5.97×10^{-5}	3.55
NaCl-48H	25.39	-	-	-	-	3.51×10^{-4}	0.74	2958	6.86×10^{-5}	3.49
NaCl-72H	24.32	-	-	-	-	4.82×10^{-4}	0.72	3203	8.60×10^{-5}	3.50
MgAl-CO ₃ ²⁻ -1H	25.70	-	-	-	-	3.34×10^{-4}	0.77	3201	8.13×10^{-5}	3.50
MgAl-CO ₃ ²⁻ -24H	27.53	-	-	-	-	3.17×10^{-4}	0.77	3617	7.48×10^{-5}	3.55

MgAl-CO ₃ ²⁻ -48H	25.81	-	-	-	-	4.05×10 ⁻⁴	0.76	3658	9.69×10 ⁻⁵	3.54	6.59×10 ⁻⁴
MgAl-CO ₃ ²⁻ -72H	24.63	-	-	-	-	5.05×10 ⁻⁴	0.76	4772	1.24×10 ⁻⁴	3.62	5.59×10 ⁻⁴
ZnAl-NO ₃ ⁻ -1H	25.15	-	-	-	-	2.27×10 ⁻⁴	0.84	8048	8.43×10 ⁻⁵	3.87	3.12×10 ⁻⁴
ZnAl-NO ₃ ⁻ -24H	24.95	-	-	-	-	2.63×10 ⁻⁴	0.86	3789	1.18×10 ⁻⁴	3.55	4.64×10 ⁻⁴
ZnAl-NO ₃ ⁻ -48H	26.00	-	-	-	-	4.08×10 ⁻⁴	0.84	4697	1.76×10 ⁻⁴	3.65	5.70×10 ⁻⁴
ZnAl-NO ₃ ⁻ -72H	28.18	-	-	-	-	7.19×10 ⁻⁴	0.83	5454	3.17×10 ⁻⁴	3.67	1.51×10 ⁻³
ZnAl-PBSA-1H	27.35	2.28×10 ⁻⁴	0.81	5.33×10 ²	1.38×10 ⁻⁴	1.28×10 ⁻⁵	0.98	5915	1.13×10 ⁻⁵	3.77	4.05×10 ⁻⁴
ZnAl-PBSA-24H	28.16	8.78×10 ⁻⁵	0.88	1.47×10 ³	6.66×10 ⁻⁵	5.79×10 ⁻⁵	0.70	6870	3.84×10 ⁻⁶	3.90	2.44×10 ⁻⁴
ZnAl-PBSA-48H	28.15	9.41×10 ⁻⁵	0.87	1.70×10 ³	7.20×10 ⁻⁵	5.51×10 ⁻⁵	0.81	3500	1.26×10 ⁻⁵	3.68	6.12×10 ⁻⁴
ZnAl-PBSA-72H	28.81	1.11×10 ⁻⁴	0.86	2.95×10 ³	9.17×10 ⁻⁵	9.61×10 ⁻⁵	0.77	3000	1.57×10 ⁻⁵	3.76	3.24×10 ⁻⁴

Table S2. The parameters obtained from the fitting of EIS data related to the coated samples immersed in 3.5 wt.% NaCl solution.

Specimens	CPE _c			CPE _{dl}			R _{ct} (Ω·cm ²)	Log Z (Ω·cm ²)	Chi squared			
	Y _c (F·cm ⁻² ·s ⁿ⁻¹)	n	R _f (Ω·cm ²)	Y _{dl} (F·cm ⁻² ·s ⁿ⁻¹)	n							
Blank WEP-1day	1.83×10 ⁻¹⁰	0.98	3.26×10 ⁶	5.93×10 ⁻⁹	0.81	4.69×10 ⁷	7.63	3.86×10 ⁻³				
Blank WEP-10day	2.62×10 ⁻¹⁰	0.95	4.57×10 ⁶	1.90×10 ⁻⁷	0.45	3.06×10 ⁷	7.22	6.05×10 ⁻³				
Blank WEP-20day	2.19×10 ⁻¹⁰	0.96	2.00×10 ⁶	7.15×10 ⁻⁸	0.24	2.00×10 ⁷	7.28	3.56×10 ⁻³				
Blank WEP-30day	1.65×10 ⁻¹⁰	0.99	1.50×10 ⁶	2.56×10 ⁻⁸	0.38	1.60×10 ⁷	7.36	2.56×10 ⁻³				
4-ZPL/WEP-1day	2.38×10 ⁻¹⁰	0.98	8.32×10 ⁸	2.02×10 ⁻¹⁰	0.58	1.68×10 ¹⁰	10.04	1.28×10 ⁻³				
4-ZPL/WEP-10day	2.41×10 ⁻¹⁰	0.98	1.50×10 ⁷	3.70×10 ⁻¹⁰	0.45	1.16×10 ⁹	9.02	1.41×10 ⁻³				
4-ZPL/WEP-20day	2.89×10 ⁻¹⁰	0.97	1.30×10 ⁷	7.46×10 ⁻¹⁰	0.21	1.00×10 ⁹	8.85	1.31×10 ⁻³				
4-ZPL/WEP-30day	2.82×10 ⁻¹⁰	0.98	1.25×10 ⁷	1.07×10 ⁻⁹	0.27	8.00×10 ⁸	8.89	5.48×10 ⁻³				

6-ZPL/WEP-1day	1.66×10^{-10}	0.98	8.00×10^8	1.36×10^{-10}	0.58	1.20×10^{10}	10.01	1.19×10^{-3}
6-ZPL/WEP-10day	1.58×10^{-10}	0.99	2.71×10^7	2.10×10^{-10}	0.61	1.40×10^9	9.13	9.97×10^{-4}
6-ZPL/WEP-20day	1.61×10^{-10}	0.99	2.60×10^7	2.30×10^{-10}	0.62	1.53×10^9	9.14	1.43×10^{-3}
6-ZPL/WEP-30day	1.63×10^{-10}	0.99	2.52×10^7	2.48×10^{-10}	0.63	1.80×10^9	9.24	1.07×10^{-3}
8-ZPL/WEP-1day	2.55×10^{-10}	0.99	1.82×10^7	3.06×10^{-8}	0.47	6.86×10^7	7.80	2.93×10^{-3}
8-ZPL/WEP-10day	3.33×10^{-10}	0.97	2.80×10^6	4.09×10^{-8}	0.24	4.20×10^7	7.38	4.00×10^{-3}
8-ZPL/WEP-20day	2.96×10^{-10}	0.98	2.70×10^6	2.67×10^{-8}	0.37	4.10×10^7	7.51	4.24×10^{-3}
8-ZPL/WEP-30day	2.61×10^{-10}	1.00	1.90×10^6	2.57×10^{-8}	0.38	6.50×10^7	7.65	9.38×10^{-3}

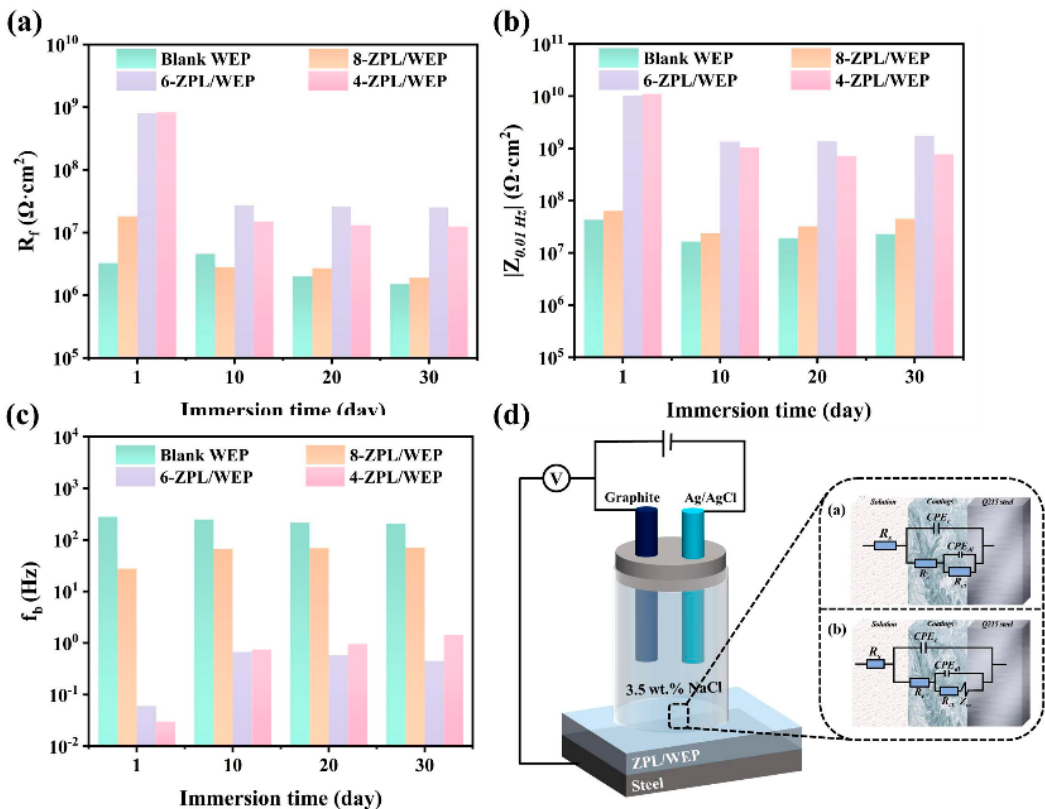


Figure S3. The changes of (a) R_f values, (b) $|Z_{0.01 \text{ Hz}}|$ values, (c) f_b values; (d) the equivalent electrical circuits.